

Materiais Elétricos e Magnéticos para Engenharia

Professor: Marcus V. Batistuta

Aula-6

Equações de Transporte de Cargas

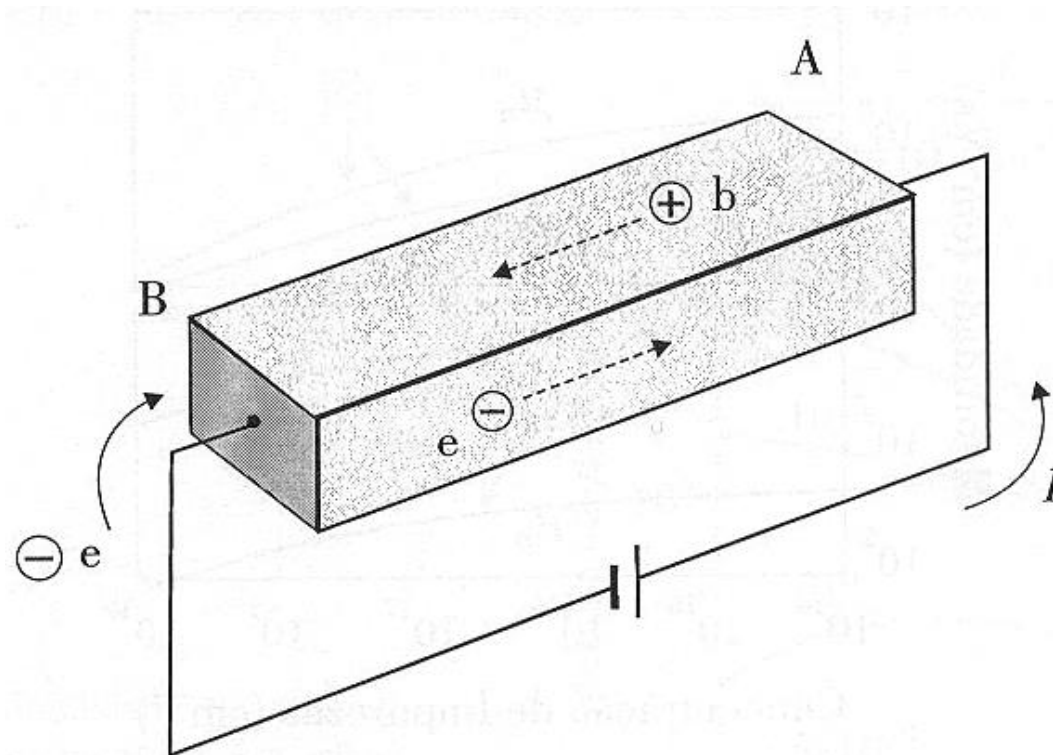
1º Semestre de 2018

FGA - Universidade de Brasília

Densidade Total de Corrente de Deriva:

$$J = (\sigma_n + \sigma_p) \mathcal{E} = \sigma \mathcal{E}$$

$$\sigma = e(n_0 \mu_n + p_0 \mu_p)$$



Efeito Hall

Lorentz: $\vec{F} = q \vec{v} \times \vec{B}$

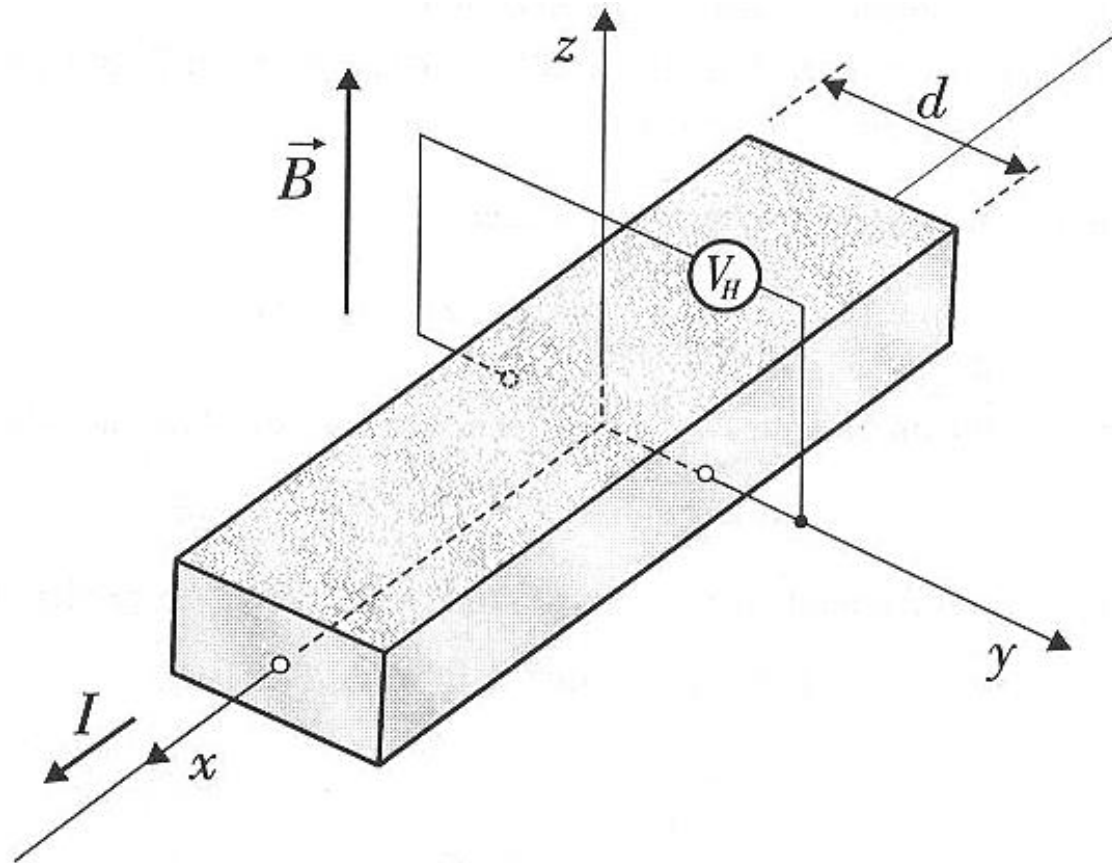


Figura 5.19: Efeito Hall num semiconductor. A aplicação de um campo magnético numa barra com corrente resulta numa diferença de potencial transversal V_H que permite medir a concentração de portadores.

$$\vec{F} = q (\vec{\mathcal{E}} + \vec{v} \times \vec{B})$$

$$\mathcal{E}_y = -(\vec{v} \times \vec{B})_y = v_x B_z$$

Tensão Hall: $V_H = \mathcal{E}_y d$,

$$J_p = e p_0 v_x$$

$$\mathcal{E}_y = \frac{J_p}{e p_0} B_z \equiv R_H J_p B_z$$

$R_H = (e p_0)^{-1}$ é o **coeficiente Hall**

A tensão Hall permite determinar: $p_0 - n_0$

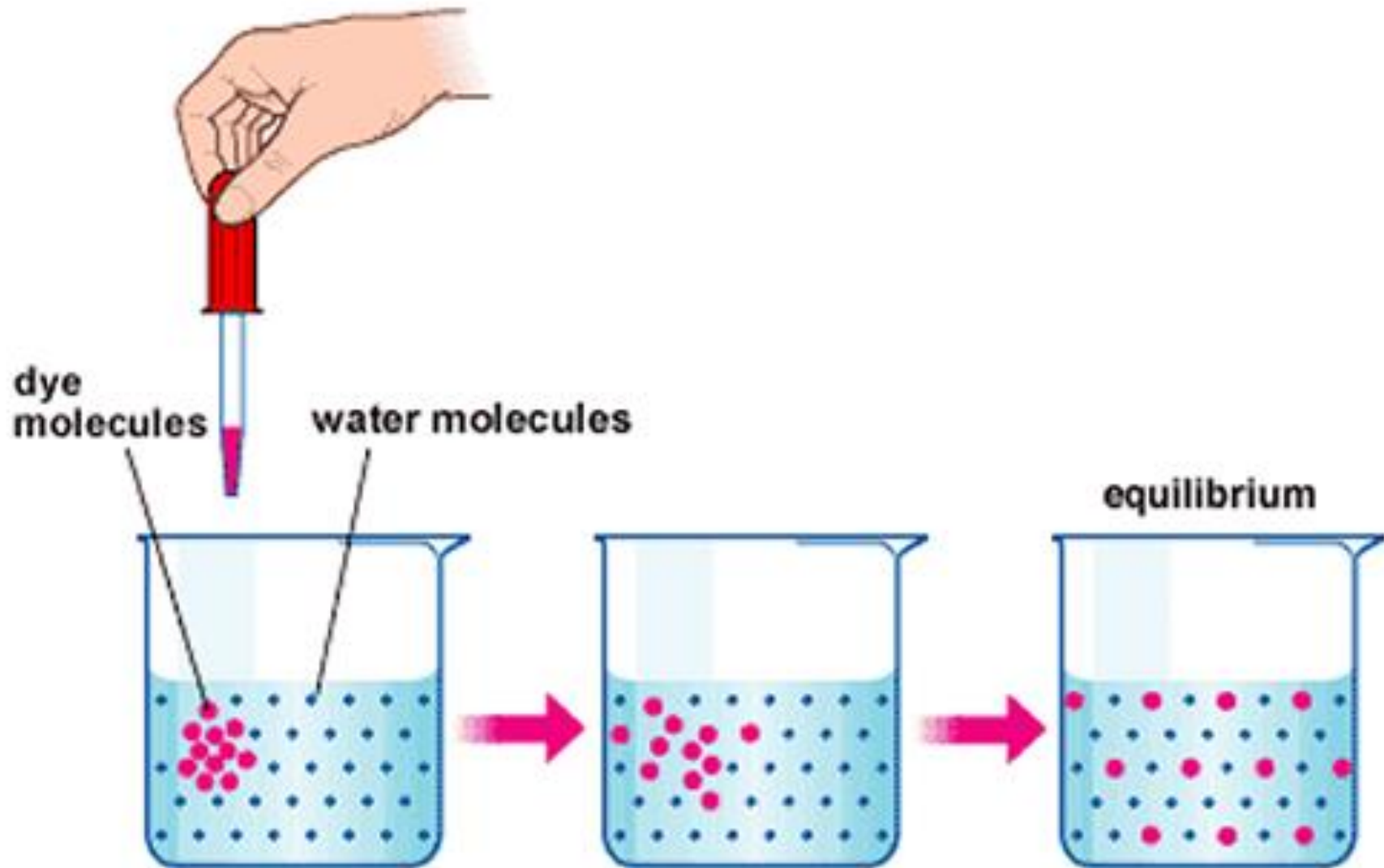
Exemplo 5.7: Uma barra de silício tipo p , com concentração de impurezas $N_a = 10^{14} \text{ cm}^{-3}$, com espessura $d = 0,5 \text{ mm}$, é usada como sensor Hall. Calcule a tensão Hall para uma corrente de prova de 100 mA quando o campo magnético é perpendicular ao plano da dimensão maior e tem intensidade $B = 10^{-1} \text{ T}$.

A tensão Hall é dada por $V_H = \mathcal{E}_y \ell$ e a densidade de corrente é $J = I/(\ell d)$, onde ℓ e d são largura e a espessura da barra. Sendo $N_a \gg n_i$, $p_0 \simeq N_a \gg n_0$, a corrente é dominada pelos buracos. Então, usando (5.56) e convertendo todas as unidades para o sistema internacional temos,

$$\begin{aligned} V_H &= \frac{I/(\ell d)}{e p_0} B_z \ell = \frac{I B_z}{e p_0 d} = \\ &= \frac{10^{-1} \times 10^{-1}}{1,6 \times 10^{-19} \times 10^{14} \times 10^6 \times 0,5 \times 10^{-3}} = 1,25 \text{ V} . \end{aligned}$$

Este exemplo mostra que a tensão Hall tem um valor relativamente alto, para circuitos eletrônicos, para um valor de campo típico de laboratórios. Isto não ocorre em metais, porque a concentração de elétrons livres ($\sim 10^{22} \text{ cm}^{-3}$) é muito maior do que em semicondutores.

Difusão



Transporte de Portadores em Semicondutores Extrínsecos

Corrente de Difusão

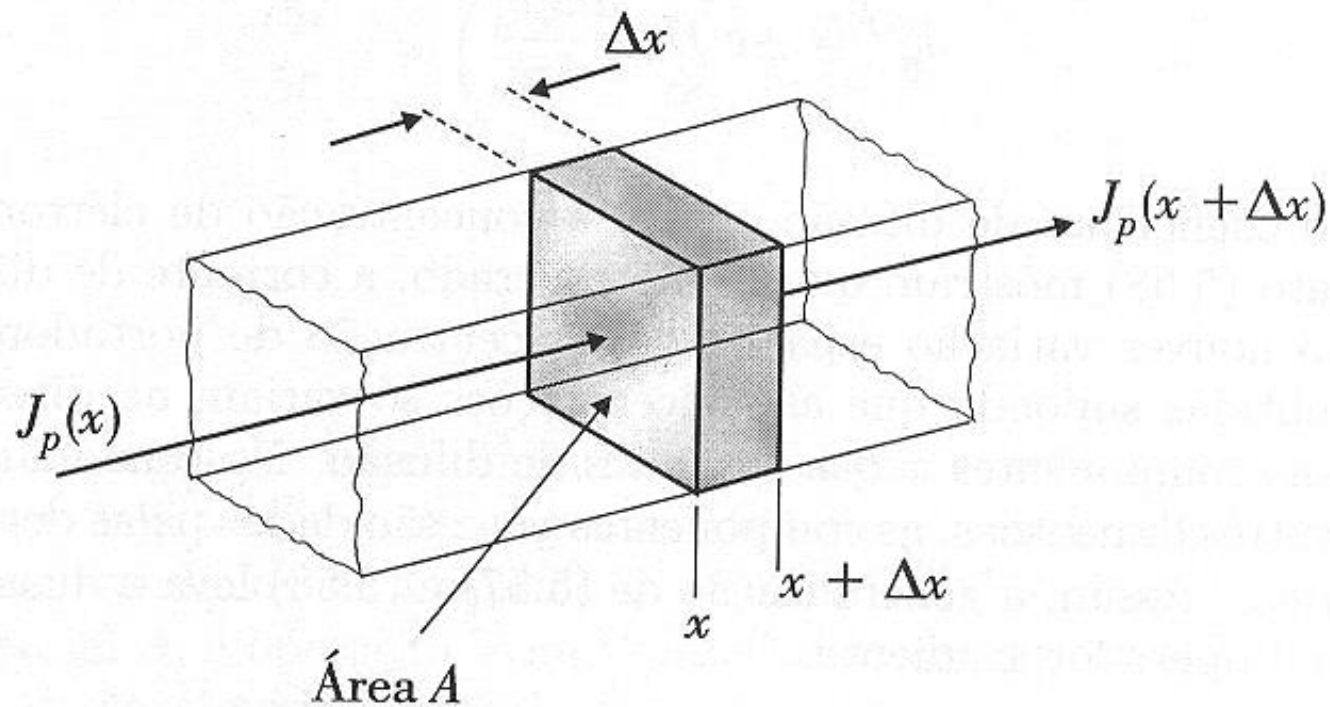


Figura 5.20: Ilustração das correntes entrando e saindo de uma região com volume $A\Delta x$ de carga.

$$J_p^{dif} = -e D_p \frac{dp(x)}{dx}$$

$$J_n^{dif} = +e D_n \frac{dn(x)}{dx}$$

$$\vec{J}_p^{dif} = -e D_p \nabla p$$

$$\vec{J}_n^{dif} = +e D_n \nabla n$$

Equação de Continuidade:
$$\frac{\partial \rho}{\partial t} = - \frac{\partial J(x)}{\partial x}$$

$$\frac{\partial \rho}{\partial t} = - \left(\frac{\partial J_x}{\partial x} + \frac{\partial J_y}{\partial y} + \frac{\partial J_z}{\partial z} \right) \quad \nabla \cdot \vec{J} = - \frac{\partial \rho}{\partial t}$$

$$\rho = e (p - n)$$

$$\nabla \cdot \vec{J} = e \frac{\partial n}{\partial t}$$



$$\vec{J}_n^{dif} = +e D_n \nabla n$$

$$(\nabla \cdot) \downarrow$$

Equação de Difusão: $D_n \nabla^2 n - \frac{\partial n}{\partial t} = 0$

Difusão e Deriva $\left\{ \begin{array}{l} \vec{J}_n = e \mu_n n \vec{\mathcal{E}} + e D_n \nabla n \\ \vec{J}_p = e \mu_p p \vec{\mathcal{E}} - e D_p \nabla p \end{array} \right.$

Corrente Total: $\vec{J} = \vec{J}_n + \vec{J}_p$

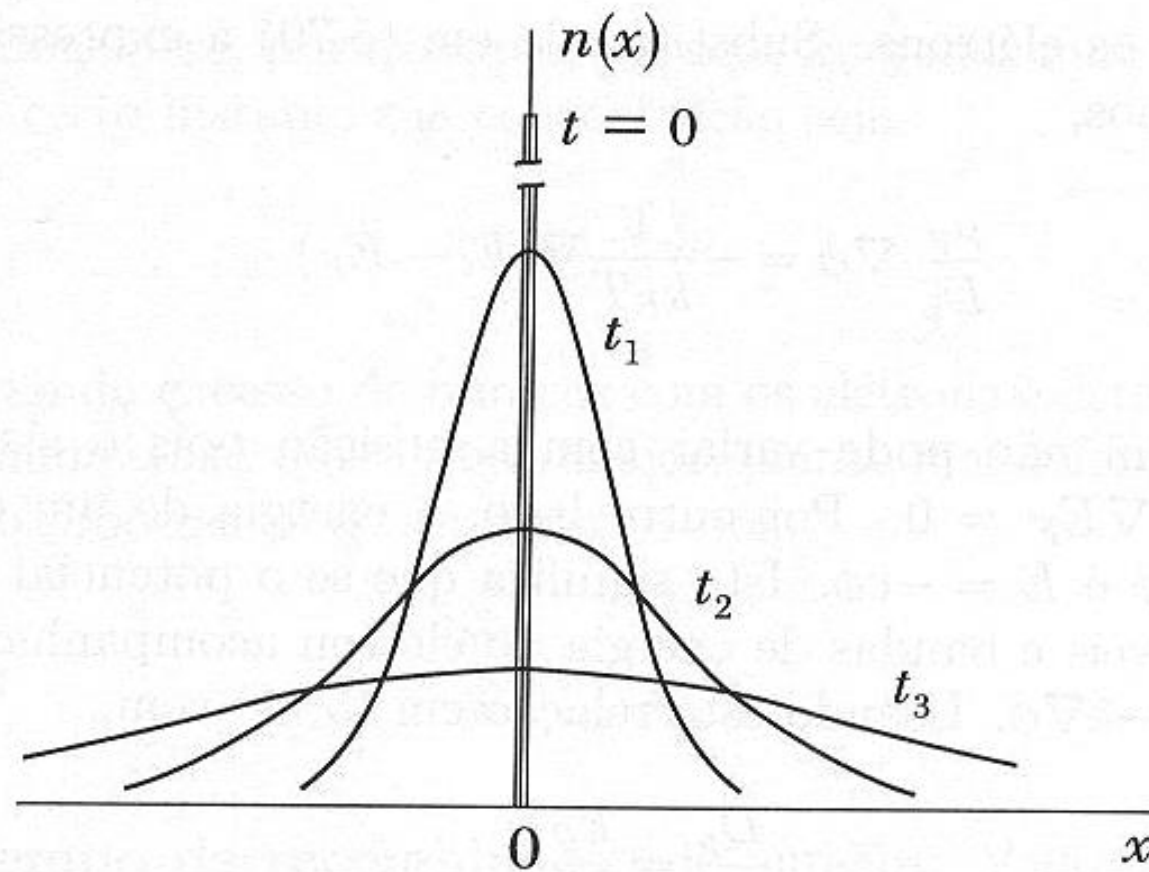


Figura 5.21: Ilustração da difusão de elétrons criados por um pulso em $x = 0$ no instante $t = 0$.

Exemplo de EDP: Modelo de Difusão (Segunda Lei de Fick)

Equação de Difusão Escalar (1D + Tempo): $\frac{du}{dt} = D \frac{d^2 u}{dx^2}$

Forma Geral da Solução:

$$\frac{du}{dt} = 0 \quad \Rightarrow \quad D \frac{d^2 u}{dx^2} = 0 \quad \Rightarrow \quad \frac{d^2 u}{dx^2} = 0 \quad \Rightarrow \quad u(x) = ax + b$$

Em regime

$$t \rightarrow \infty$$

Equação Vetorial (3D + Tempo): $\frac{d\vec{u}}{dt} = D \nabla^2 \vec{u}$

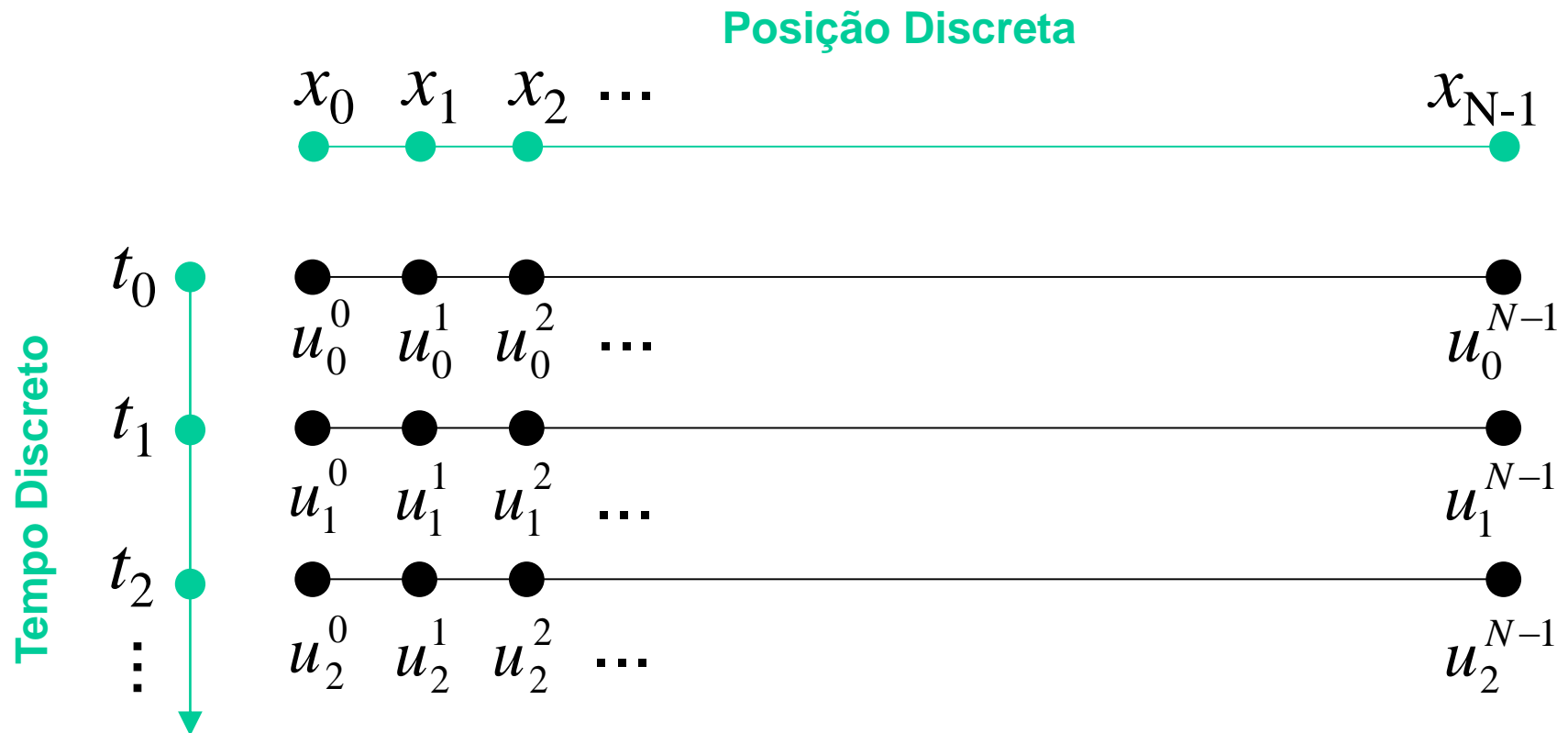
Equações Diferença – Difusão (1D)

$$i = 0, 1, 2, \dots, N-1$$

$$x_i = i \cdot \Delta x$$

$$k = 0, 1, 2, \dots, \infty$$

$$t_k = k \cdot \Delta t$$



Difusão (1D)

Forward Time Central Space (FTCS)

$$\frac{\partial^2 u}{\partial x^2} \approx \frac{u_k^{i+1} - 2u_k^i + u_k^{i-1}}{\Delta x^2}$$

$$\frac{\partial u}{\partial t} \approx \frac{u_{k+1}^i - u_k^i}{\Delta t}$$

$$\frac{du}{dt} = D \frac{d^2 u}{dx^2}$$

$$\frac{u_{k+1}^i - u_k^i}{\Delta t} = D \frac{u_k^{i+1} - 2u_k^i + u_k^{i-1}}{\Delta x^2}$$

$$u_{k+1}^i = u_k^i + \frac{D\Delta t}{\Delta x^2} (u_k^{i+1} - 2u_k^i + u_k^{i-1}) \quad \left\{ \begin{array}{l} i = 1, 2, \dots, N \\ k = 0, 1, 2, \dots, \infty \end{array} \right.$$

$$u_{k+1}^i = u_k^i + K_D (u_k^{i+1} - 2u_k^i + u_k^{i-1})$$

$$K_D = \frac{D\Delta t}{\Delta x^2} \leq \frac{1}{2} \quad \text{Estabilidade}$$

Forma Matricial das Equações Diferença

Equação de Difusão (1D)

$$N = 5$$

Equações:
$$u_{k+1}^i = u_k^i + K_D (u_k^{i+1} - 2u_k^i + u_k^{i-1})$$

$$\left\{ \begin{array}{l} i = 1, 2, \dots, N \\ k = 0, 1, 2, \dots, \infty \end{array} \right.$$

$$\begin{bmatrix} u_{k+1}^0 \\ u_{k+1}^1 \\ u_{k+1}^2 \\ u_{k+1}^3 \\ u_{k+1}^4 \end{bmatrix} = \begin{bmatrix} u_k^0 \\ u_k^1 \\ u_k^2 \\ u_k^3 \\ u_k^4 \end{bmatrix} + K_D \begin{bmatrix} -1 & 1 & & & \\ 1 & -2 & 1 & & \\ & 1 & -2 & 1 & \\ & & 1 & -2 & 1 \\ & & & 1 & -1 \end{bmatrix} \begin{bmatrix} u_k^0 \\ u_k^1 \\ u_k^2 \\ u_k^3 \\ u_k^4 \end{bmatrix}$$

 - Fronteiras Fechadas

 **N Condições Iniciais**

Forma Matricial das Equações Diferença

Equação de Difusão (1D)

$$N = 5$$

Equações: $u_{k+1}^i = u_k^i + K_D (u_k^{i+1} - 2u_k^i + u_k^{i-1})$

$$\left\{ \begin{array}{l} i = 1, 2, \dots, N \\ k = 0, 1, 2, \dots, \infty \end{array} \right.$$

$$\begin{bmatrix} u_{k+1}^0 \\ u_{k+1}^1 \\ u_{k+1}^2 \\ u_{k+1}^3 \\ u_{k+1}^4 \end{bmatrix} = \begin{bmatrix} u_k^0 \\ u_k^1 \\ u_k^2 \\ u_k^3 \\ u_k^4 \end{bmatrix} + K_D \begin{bmatrix} 0 & & & & \\ 1 & -2 & 1 & & \\ & 1 & -2 & 1 & \\ & & 1 & -2 & 1 \\ 0 & & & & 0 \end{bmatrix} \begin{bmatrix} u_k^0 \\ u_k^1 \\ u_k^2 \\ u_k^3 \\ u_k^4 \end{bmatrix}$$

○ - Fronteiras Constantes
(Fontes e Drenos)

N Condições Iniciais

Semicondutor em Equilíbrio Térmico e Nenhum Campo Aplicado

$$\vec{J}_n = \vec{J}_p = 0$$

$$\vec{\mathcal{E}} = -\nabla\phi$$

Lacunas:

$$\vec{J}_p = e \mu_p p \vec{\mathcal{E}} - e D_p \nabla p \quad p_0 = n_i e^{(E_i - E_F)/k_B T}$$

$$\frac{\mu_p}{D_p} \nabla\phi = -\frac{1}{p_0} \nabla p_0 \quad \frac{\mu_p}{D_p} \nabla\phi = -\frac{1}{k_B T} \nabla(E_i - E_F)$$

$$\nabla E_F = 0$$

$$E = -e\phi$$

$$\nabla E_i = -e\nabla\phi$$

$$\frac{D_p}{\mu_p} = \frac{k_B T}{e}$$

Elétrons e Lacunas:

$$\frac{D_p}{\mu_p} = \frac{D_n}{\mu_n} = \frac{k_B T}{e}$$

Relação de Einstein

$$D/\mu \approx 0,026 \text{ [eV]} \quad T = 300 \text{ K}$$

Recombinação

Injeção de Lacunas: $p = p_0 + \delta p$

$$\frac{\partial \delta p}{\partial t} = -\frac{\delta p}{\tau_p}$$

$$\delta p(t) = A e^{-t/\tau_p}$$

$$\frac{\partial \delta n}{\partial t} = -\frac{\delta n}{\tau_n}$$

Eq. De Difusão com Recombinação

$$\left\{ \begin{array}{l} \frac{\partial \delta n}{\partial t} = D_n \nabla^2 \delta n - \frac{\delta n}{\tau_n} \\ \frac{\partial \delta p}{\partial t} = D_p \nabla^2 \delta p - \frac{\delta p}{\tau_p} \end{array} \right.$$

Regime Estacionário

$$\frac{\partial}{\partial t} = 0 \quad \left\{ \begin{array}{ll} \nabla^2 \delta n = \frac{\delta n}{L_n^2} & \text{Elétrons} \\ \nabla^2 \delta p = \frac{\delta p}{L_p^2} & \text{Lacunas} \end{array} \right.$$

Comprimentos de Difusão: $L_n = \sqrt{D_n \tau_n}$ e $L_p = \sqrt{D_p \tau_p}$

Lacunas: $\frac{d^2 \delta p(x)}{dx^2} = \frac{\delta p}{L_p^2}$

$$\delta p(x) = C_1 e^{-x/L_p} + C_2 e^{x/L_p}$$

Como em $x = 0$, $\delta p = \Delta p$, a constante C_1 é igual a Δp .

$$\delta p(x) = \Delta p e^{-x/L_p}$$

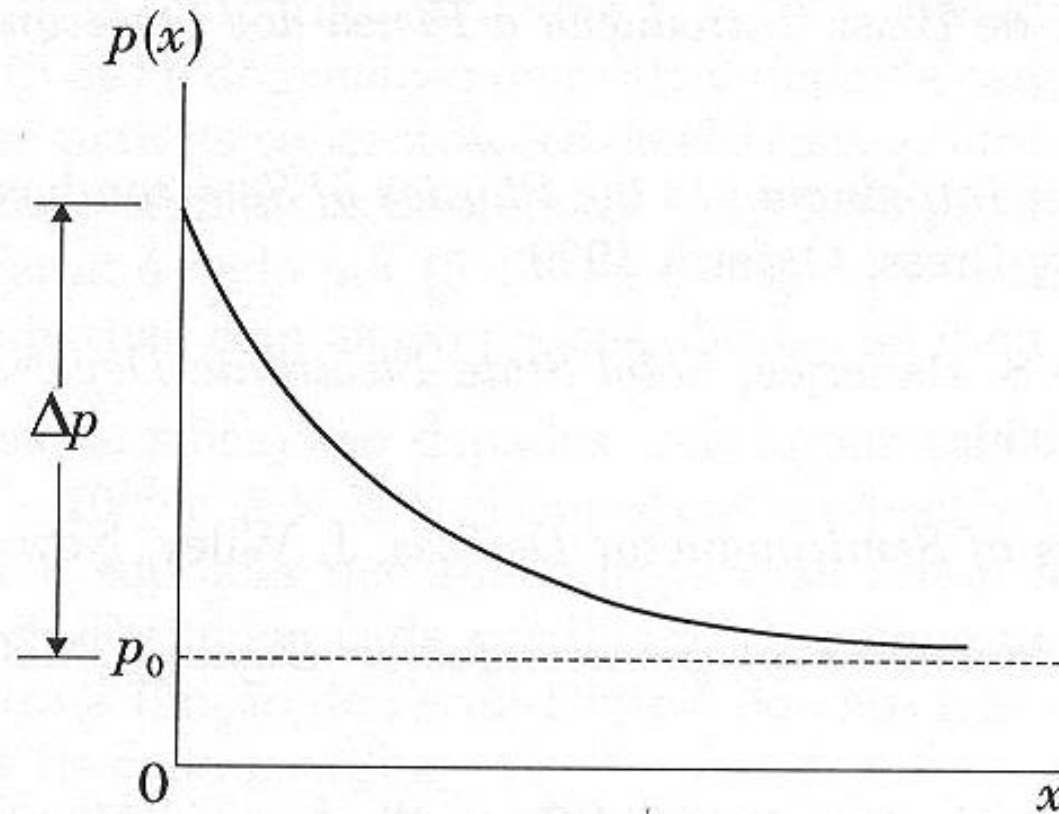


Figura 5.22: Concentração de buracos resultante de um processo de injeção com taxa constante em $x = 0$.

Equações Básicas para a Operação de Dispositivos Semicondutores

Equações de Maxwell

$$\nabla \times \vec{E} = -\frac{\partial \vec{B}}{\partial t}$$

$$\nabla \times \vec{H} = \frac{\partial \vec{D}}{\partial t} + \vec{J}_c = \vec{J}_t$$

$$\nabla \cdot \vec{D} = \rho(x, y, z)$$

$$\nabla \cdot \vec{B} = 0$$

$$\vec{B} = \mu_0 \mu_r \vec{H}$$

$$\vec{D} = \epsilon_0 \epsilon_r \vec{E}$$

Equação de Laplace:
$$\nabla^2 V = -\nabla \cdot \vec{E} = -\frac{\rho(x, y, z)}{\epsilon_0 \epsilon_r}$$

Baixas Frequências em Materiais Homogêneos e Isotrópicos

Equações Básicas para a Operação de Dispositivos Semicondutores

Equações da Densidade de Corrente

$$\vec{J}_n = e\mu_n n \vec{E} + eD_n \nabla n$$

$$\vec{J}_p = e\mu_p p \vec{E} - eD_p \nabla p$$

$$\vec{J}_c = \vec{J}_n + \vec{J}_p$$

**Pequenos Campos Elétricos em Materiais Homogêneos e Isotrópicos.
Em equilíbrio térmico.**

Equações Básicas para a Operação de Dispositivos Semicondutores

Equações de Densidade de Corrente

$$D_n = \frac{kT}{q} \mu_n \qquad D_p = \frac{kT}{q} \mu_p$$

$$\vec{J}_n = e\mu_n n \vec{E} + eD_n \nabla n = e\mu_n \left(n \vec{E} + \frac{kT}{q} \nabla n \right)$$

$$\vec{J}_p = e\mu_p p \vec{E} + eD_p \nabla p = e\mu_p \left(p \vec{E} - \frac{kT}{q} \nabla p \right)$$

$$\vec{J}_c = \vec{J}_n + \vec{J}_p$$

**Pequenos Campos Elétricos em Materiais Homogêneos e Isotrópicos.
Semicondutores não-degenerados, Sem campos magnéticos significativos.
Em equilíbrio térmico.**

Equações Básicas para a Operação de Dispositivos Semicondutores

Equações de Continuidade

$$\nabla \cdot \vec{J}_c = - \frac{\partial \rho(x, y, z)}{\partial t}$$

$$\frac{\partial n}{\partial t} = G_n - R_n + \frac{1}{e} \nabla \cdot \vec{J}_n$$

$$\frac{\partial p}{\partial t} = G_p - R_p - \frac{1}{e} \nabla \cdot \vec{J}_p$$

$$R_n \approx \frac{n - n_0}{\tau_n}$$

$$R_p \approx \frac{p - p_0}{\tau_p}$$

$$\tau_n \approx \tau_p$$

Aproximações Válidas em Pequenos Desvios de Concentrações, Portadores Minoritários, Recombinação em Pares

Geração tem origem em processos de Avalanche ou absorção de Fótons

Equações de Fundamentais

$$\frac{\partial n}{\partial t} = \frac{1}{q} \nabla \cdot \mathbf{J}_N - r_N + g_N$$
$$\frac{\partial p}{\partial t} = -\frac{1}{q} \nabla \cdot \mathbf{J}_P - r_P + g_P$$

(Continuity equations)

$$\frac{\partial \Delta n_p}{\partial t} = D_N \frac{\partial^2 \Delta n_p}{\partial x^2} - \frac{\Delta n_p}{\tau_n} + G_L$$
$$\frac{\partial \Delta p_n}{\partial t} = D_P \frac{\partial^2 \Delta p_n}{\partial x^2} - \frac{\Delta p_n}{\tau_p} + G_L$$

(Minority carrier diffusion equations)

$$\nabla \cdot \mathcal{E} = \rho / K_S \epsilon_0$$

(Poisson's equation)

Equações de Transporte

$$\mathbf{J}_N = q\mu_n n \mathcal{E} + qD_N \nabla n = \mu_n n \nabla F_N$$

$$\mathbf{J}_P = q\mu_p p \mathcal{E} - qD_P \nabla p = \mu_p p \nabla F_P$$

$$\rho = q(p - n + N_D^+ - N_A^-)$$

$$\mathbf{J} = \mathbf{J}_N + \mathbf{J}_P$$

$$\mathbf{j} = \mathbf{J}_N + \mathbf{J}_P + \frac{\partial \mathbf{D}}{\partial t}$$